



# IME

## Um breve estudo do Modelo Lorenz 80

Lucas Amaral Taylor

Instituto de Matemática e Estatística  
(IME-USP)

# Estrutura da apresentação

- 1 Introdução
- 2 Construção dos modelos
- 3 Simulações
- 4 Conclusão

# Objetivos da apresentação

- 1 Apresentação geral do artigo de Lorenz
- 2 Relacionar os assuntos apresentados em aula com os temas abordados no artigo.
- 3



## PE Model: O modelo de água rasa

Fazendo as devidas alterações notacionais em [Sal98], temos:

$$\frac{\partial V}{\partial t} + (V \cdot \nabla)V + f\mathbf{k} \times V = -g\nabla z \quad (1)$$

$$\frac{\partial z}{\partial t} + \nabla \cdot (zV) = 0 \quad (2)$$

Onde:

- $t$ : tempo;
- $\mathbf{r}$ : vetor de posição inicial;
- $V(t, r)$ : Velocidade horizontal;
- $z(t, r)$ : altura da superfície;
- $f$ : parâmetro de Coriolis;
- $g$ : aceleração da gravidade;
- $\mathbf{k}$ : vetor da vertical.

## PE Model: Modelo de água rasa

$z$ : desvio da superfície do fluido



$H$ : profundidade média

$h$ : variação da topologia do fundo

## PE Model: O modelo de água rasa modificado

No artigo, nos é apresentado as seguintes equações:

$$\frac{\partial \mathbf{V}}{\partial t} = -(\mathbf{V} \cdot \nabla) \mathbf{V} - f \mathbf{k} \times \mathbf{V} - g \nabla z + \nu \nabla^2 \mathbf{V} \quad (3)$$

$$\frac{\partial z}{\partial t} = -(\mathbf{V} \cdot \nabla)(z - h) - (H + z - H) \nabla \cdot \mathbf{V} + \kappa \nabla^2 z + F \quad (4)$$

Onde:

- $t$ : tempo
- $\mathbf{r}$ : vetor de posição inicial;
- $H$ : profundidade média do fluido;
- $h(r)$ : variação da superfície topológica;
- $\mathbf{V}(t, r)$ : Velocidade horizontal;
- $z(t, r)$ : altura da superfície;
- $f$ : parâmetro de Coriolis;
- $g$ : aceleração da gravidade;
- $F$ : forças externas;
- $\kappa$ : coeficiente de difusão viscosa;
- $\nu$ : coeficiente de difusão térmica;
- $\mathbf{k}$ : vetor da vertical.

## PE Model: Sobre os processos de difusão

Nas equações (3) e (4), temos dois processos de difusão:

- 1 **Difusão viscosa:** transferência do momento entre partes do fluido devido à viscosidade (*exemplo: mel*);
- 2 **Difusão térmica:** Transferência de calor por condução entre regiões com diferentes temperaturas.

*Observação: Ambos os processos tendem a uniformizar suas respectivas propriedades.*



## PE Model: Algumas observações das equações (3) e (4)

- 1 A média horizontal de  $h$  e  $z$  é zero;
- 2  $V(t, r)$  e  $z(t, r)$  são amortecidas pelo processo de difusão de pequenas escala, este fato auxilia na simulação de fenômenos atmosféricos;
- 3 O “efeito  $\beta$ ”, efeito que indica como o movimento do fluido é afetado pelas alterações espaciais do parâmetro Coriolis, é suprimido da equação (4), através da escolha da topografia. Tal decisão baseia-se no artigo [Von52] que prova o fato teoricamente e laboratorialmente.

## PE Model: A formação de novas equações

A partir da *Decomposição de Helmholtz*, decomposição que divide a *parte rotacional* e a *parte divergente*, aplicada a equação (4), temos:

$$\mathbf{V} = \nabla\chi + \mathbf{k} \times \nabla\psi \quad (5)$$

Onde:

- $\chi$ : potencial de velocidade (*parte divergente*)
- $\psi$ : função corrente (*parte rotacional*)
- $\mathbf{k}$ : vetor unitário vertical

## PE Model: A formação de novas equações

A partir da equação (5) e (3), obtemos as duas seguintes equações:

$$\begin{aligned}\frac{\partial \nabla^2 \chi}{\partial t} = & -\frac{1}{2} \nabla^2 (\nabla \chi \cdot \nabla \chi) - \nabla \chi \cdot \nabla (\nabla^2 \psi) \times \mathbf{k} + \nabla^2 (\nabla \chi \cdot \nabla \psi \times \mathbf{k}) \\ & + \nabla \cdot (\nabla^2 \psi \nabla \psi) - \frac{1}{2} \nabla^2 (\nabla \psi \cdot \nabla \psi) + \nu \nabla^4 \chi + f \nabla^2 \psi - g \nabla^2 z\end{aligned}\quad (6)$$

$$\frac{\partial \nabla^2 \psi}{\partial t} = -\nabla \cdot (\nabla^2 \psi \nabla \chi) - \nabla \psi \cdot \nabla (\nabla^2 \psi) \times \mathbf{k} - f \nabla^2 \chi + \nu \nabla^4 \psi\quad (7)$$

Onde:

- $\frac{\partial \nabla^2 \chi}{\partial t}$ : expressa a vorticidade;
- $\frac{\partial \nabla^2 \psi}{\partial t}$ : expressa o divergente

## PE Model: A formação de novas equações

Realizando o mesmo processo, a partir das equações (4) e (5), obtemos a seguinte equação:

$$\frac{\partial z}{\partial t} = -\nabla \cdot (z - h)\nabla \chi - \nabla \psi \cdot \nabla (z - h) \times \mathbf{k} - H\nabla^2 \chi + \kappa \nabla^2 z + F \quad (8)$$

As equações (6), (7) e (8) serão as equações básicas para a construção do modelo de baixa ordem

## *PE Model:* Objetivos do Processo de simplificação

- 1 Converter as equações (6), (7) e (8) para um modelo de baixa ordem.
- 2 Transformaremos um modelo formado originalmente por equações primitivas atmosféricas em um sistema de nove variáveis.

## PE Model: Processo de simplificação

Primeiro, introduziremos três vetores adimensionais, que respeitam a seguinte condição:

$$\alpha_1 + \alpha_2 + \alpha_3 = 0 \quad (9)$$

Junto a permutação abaixo:

$$(i, j, k) = (1, 2, 3), (2, 3, 1), (3, 1, 2) \quad (10)$$

Definiremos as variáveis  $a_i$ ,  $b_i$  e  $c_i$

## PE Model: Processo de simplificação

As variáveis  $a_i$ ,  $b_i$  e  $c_i$  são definidas da seguinte forma:

$$a_i = \alpha_1 \cdot \alpha_j$$

$$b_i = \alpha_j \cdot \alpha_i$$

$$c_i = \alpha_j \times \alpha_k \cdot \mathbf{k}$$

*Observação: Apesar dessa relação ser válida, Lorenz apresenta outra (esta foi usado na aplicação computacional):*

$$b_i = \frac{1}{2} (a_i - a_j - a_k)$$

$$c_i = c$$

## PE Model: Processo de simplificação

Por fim, definimos um comprimento  $L$  e criamos três funções ortogonais:

$$\phi_i = \cos\left(\alpha_i \cdot \frac{r}{L}\right)$$

A partir delas, temos:

$$L^2 \nabla^2 \phi_i = -a_i \phi_i$$

$$L^2 \nabla \phi_i \cdot \nabla \phi_k = -\frac{1}{2} b_{ik} \phi_i + \dots$$

$$L^2 \nabla \cdot (\phi_j \nabla \phi_k) = \frac{1}{2} b_{jk} \phi_i + \dots$$

$$L^2 \phi_j \cdot \nabla \phi_k \times \mathbf{k} = -\frac{1}{2} c_{jk} \phi_i + \dots$$



## PE Model: Processo de simplificação

A partir delas, podemos introduzir as variáveis adimensionais normalizadas:

$$t = f^{-1} \tau \quad (11)$$

$$\chi = 2L^2 f^2 \sum x_i \phi_i \quad (12)$$

$$\psi = 2L^2 f^2 \sum y_i \phi_i \quad (13)$$

$$z = 2L^2 f^2 g^{-1} \sum z_i \phi_i \quad (14)$$

$$h = 2L^2 f^2 g^{-1} \sum h_i \phi_i \quad (15)$$

$$F = 2L^2 f^2 g^{-1} \sum F_i \phi_i \quad (16)$$

## PE Model: Processo de simplificação

Em seguida, aplicamos as variáveis definidas em (11)-(16), nas equações (6), (7) e (8), obtemos as seguintes equações:

$$a_i \frac{dx_i}{d\tau} = a_i b_1 x_i x_k - c(a_i - a_k) x_i y_k c(a_i - a_j) y_i x_k - 2c^2 y_i y_k - \nu_0 a_i^2 x_i + a_i y_i - a_i z_i \quad (17)$$

$$a_i \frac{dy_i}{d\tau} = -a_i b_k x_i y_k - a_i b_i y_i x_k + c(a_k - a_i) y_i y_k - a_i x_i - \nu_0 a_i^2 y_i \quad (18)$$

$$\frac{dz_i}{d\tau} = -b_k x_i (z_k - h_k) - b_i (z_i - h_i) x_k + c y_i (z_k - h_k) - c(z_i - h_i) y_k + g_0 a_i x_i - \kappa_0 a_i z_i + F_i \quad (19)$$

## PE Model: Breves observações

- As variáveis com o índice 1 representam campos de velocidade e altura zonalmente uniformes
- As variáveis com o índice 2 ou 3 representam ondas ou redemoinhos de grande escala sobrepostos.
- Este modelo será usado em simulações e levará em consideração a permutação (10)

## PE Model: Mais um processo de simplificação

Primeiro, definiremos  $U$  e  $V$ :

$$U_i = -b_i x_i + c y_i \quad (20)$$

$$V_i = -b_k x_i - c y_i \quad (21)$$

Em seguida,  $X_i$  e  $Y_i$ :

$$X_i = -a_i x_i \quad (22)$$

$$Y_i = -a_i y_i \quad (23)$$

## PE Model: Mais um processo de simplificação

Aplicando  $U$ ,  $V$ ,  $X_i$  e  $Y_i$  em (17), (18) e (19), obtemos:

$$\frac{dX_i}{d\tau} = U_i U_k + V_j V_k - \nu_0 a_i X_i + Y_i + a_i z_i \quad (24)$$

$$\frac{dY_i}{d\tau} = U_i Y_k + Y_j V_k - X_i - \nu_0 a_i Y_i \quad (25)$$

$$\frac{dz_i}{d\tau} = U_i(z_k - h_k) + (z_j - h_j)V_k - g_0 X_i - \kappa_0 a_i z_i + F_i \quad (26)$$

Este modelo também segue as permutações de (10).

## QG Model: Construção do modelo

Da equação (17):

- Elimina-se todos os termos que contém  $x$ , inclusive aqueles que tem derivada em relação ao tempo

Das equações (18) e (19):

- Elimina-se todos os termos não lineares ou topográficos
- Elimina-se todos os termos com  $x$  e  $z$

## QG Model: Construção do modelo

A partir deste processo obtem-se:

$$(a_i g_0 + 1) \frac{dy_i}{d\tau} = g_0 c(a_k - a_j) y_j y_k - a_i (a_i g_0 v_0 + \kappa_0) y_i - ch_k y_j + ch_j y_k + F_i \quad (27)$$

Onde:

- $(a_i g_0 + 1) \frac{dy_i}{d\tau}$ : termo de evolução temporal
- $g_0 c(a_k - a_j) y_j y_k$ : Advecção da vorticidade planetária
- $-a_i (a_i g_0 v_0 + \kappa_0) y_i$ : dissipação
- $-ch_k y_j + ch_j y_k$ : efeitos topográficos
- $F_i$ : forçamento

## PE Model: Processo de plotagem

Dada a seleção do modelo, o seguinte processo é realizado:

- 1 Seleção de constantes e condições iniciais
- 2 Método de discretização (RK4)
- 3 Plotagem



## PE Model: Seleção de constantes

```
1 vetor_a = [1, 1, 3]
2 vetor_b = [
3     0.5 * (vetor_a[0] - vetor_a[1] - vetor_a[2]),
4     0.5 * (vetor_a[1] - vetor_a[2] - vetor_a[0]),
5     0.5 * (vetor_a[2] - vetor_a[0] - vetor_a[1]),
6 ]
7 c = math.sqrt(3/4)
8
9 f_inv = 10800
10 vetor_h = [-1, 0, 0]
11 vetor_f = [0.1, 0, 0]
12 g_0 = 8
13 kappa_0 = 1 / 48
14 nu_0 = kappa_0
15
```

## PE Model: Condições iniciais - padrão

Primeira condição inicial, é a dada por padrão e tem o intuito de reproduzir a figura 1 do artigo.

```
1 # Condições iniciais - dia 01
2 x0 = [0.1, 0, 0]
3 y0 = [0.1, 0, 0]
4 z0 = [0.1, 0, 0]
5
```

# Condição de Hardley

## PE Model: Condições iniciais - Hardley 01

A presente condição reproduz as condições da circulação de Hardley de acordo como [GM82]:

```
1 # Condição Hardley 01
2 y1 = (vetor_f[1] / vetor_a[1] * nu_0 * (1 + vetor_a[1] * g_0 + nu_0**2 *
      vetor_a[1] ** 2))
3 z1 = (1 + nu_0**2 * vetor_a[1] ** 2) * y1
4 x1 = -nu_0 * vetor_a[1] * y1
5
6
7 x_hardley_inicial = [x1, 0, 0]
8 y_hardley_inicial = [y1, -(10 ** (-5)), 0]
9 z_hardley_inicial = [z1, 10 ** (-5), 0]
10
```

## PE Model e QG Model: Condições iniciais - Hardley 02

A presente condição reproduz as condições da circulação de Hardley de acordo com [Lor80]

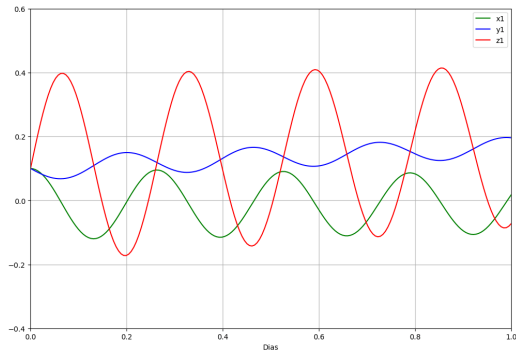
```
1 x_hardley02_inicial = [-0.01111, 0, 0]
2 y_hardley02_inicial = [0.53331, 0, 0]
3 z_hardle02_inicial = [0.53354, 0, 0]
```

Equivalente a seguinte condição do QG Model:

```
1 y0 = [0.53333, 0, 0]
```

# Método de discretização RK4

## PE Model: Resultados condição inicial padrão



(a) Condição padrão - reprodução

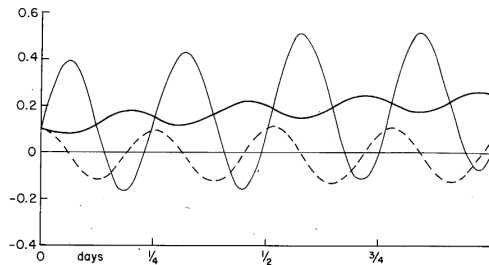
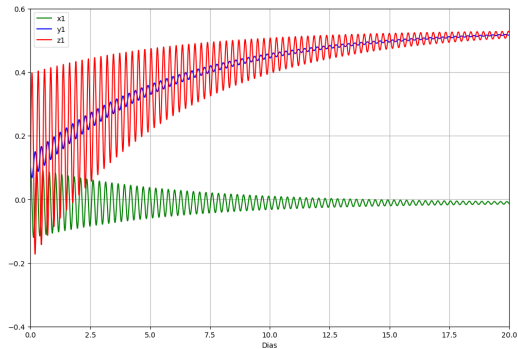


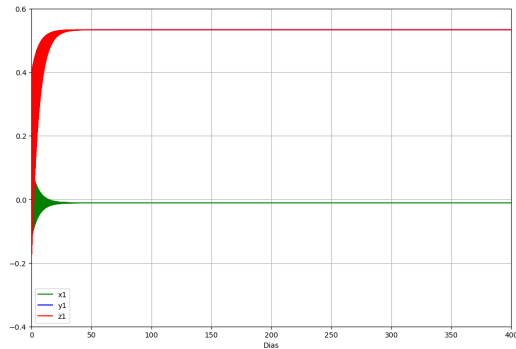
FIG. 1. Variations of  $x_1$  (dashed curve),  $y_1$  (heavy solid curve) and  $z_1$  (thin solid curve) during first day of first numerical solution of PE model.

(b) Condição padrão - artigo

## PE Model: Resultados condição inicial padrão



(a) Condição padrão - 20 dias



(b) Condição padrão - 400 dias



## PE Model: Resultados para condição de Hardley 01

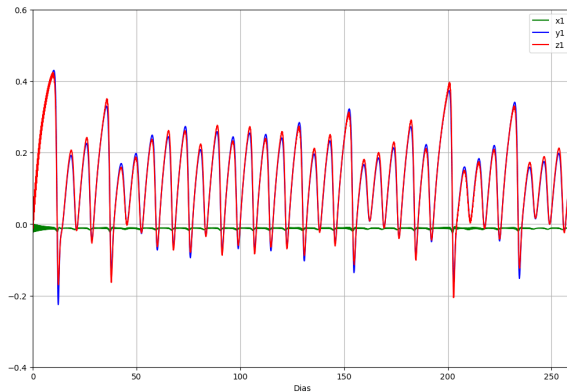


Figure: Hardley 01 - 260 dias

## PE Model: Resultados para condição de Hardley 01

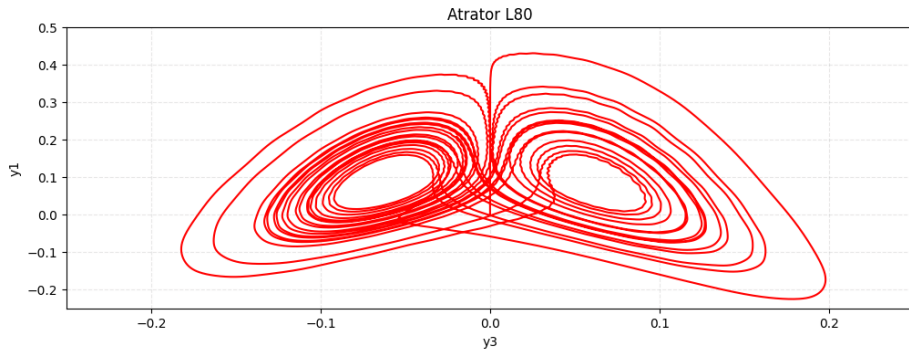


Figure: Hardley 01 - Projeção  $y_3 \times y_1$

## PE Model: Resultados para condição de Hardley 01

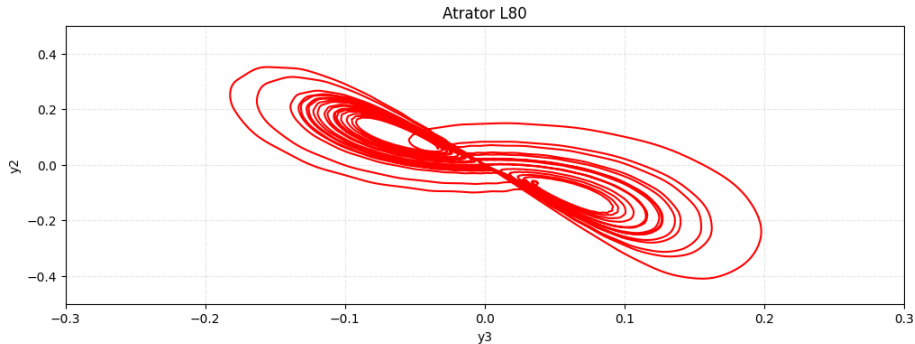


Figure: Hardley 01 - Projeção  $y_3 \times y_2$

## PE Model: Resultados para condição de Hardley 01

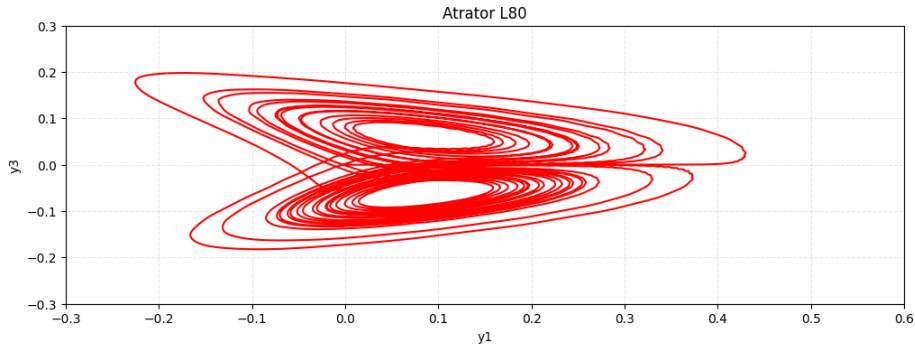
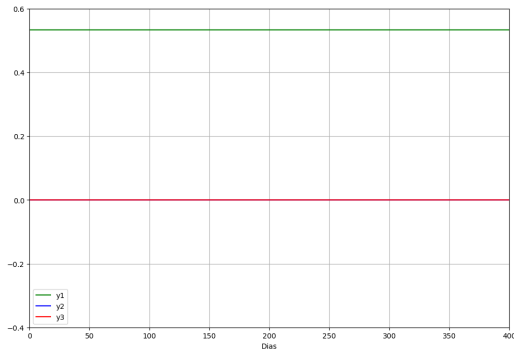
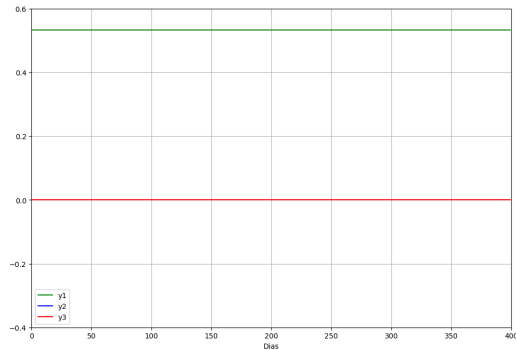


Figure: Hardley 01 - Projeção  $y_1 \times y_3$

# PE Model e QG Model: Resultados para a condição de Hardley 02



(a) Condição de Hardley 02 - 400 dias  
(PE Model)



(b) Condição de Hardley 02 - 400 dias  
(QG Model)

## Referências

- [GM82] Peter R Gent and James C McWilliams. "Intermediate model solutions to the Lorenz equations: Strange attractors and other phenomena". en. In: *J. Atmos. Sci.* 39.1 (Jan. 1982), pp. 3–13.
- [Lor80] Edward N Lorenz. "Attractor sets and quasi-geostrophic equilibrium". en. In: *J. Atmos. Sci.* 37.8 (Aug. 1980), pp. 1685–1699.
- [Sal98] Rick Salmon. *Lectures on geophysical fluid dynamics*. Oxford University Press, USA, 1998.
- [Von52] WILLIAM S. Von ARX. "A Laboratory Study of the Wind-driven Ocean Circulation.". In: *Tellus* 4.4 (1952), pp. 311–318. DOI: <https://doi.org/10.1111/j.2153-3490.1952.tb01018.x>.

Obrigado pela atenção!